

## 2.2. Статистические характеристики огибающей смеси сигнала и шума

Линейный АД имеет линейную детекторную характеристику, оставаясь при этом нелинейным устройством относительно мгновенных значений напряжения. Напряжение на выходе безынерционного линейного АД прямо пропорционально огибающей входного колебания  $U(t)$ :

$$U_d(t) = K_d U(t),$$

где  $K_d$  – коэффициент передачи детектора. Поэтому для определения статистических характеристик шумового напряжения на выходе такого АД нужно знать статистические характеристики огибающей смеси сигнала и квазигармонического шума на его входе, т.е. на выходе БВЧ радиоприёмника.

Рассмотрим сначала статистические характеристики огибающей шума. Квазигармоническое шумовое колебание, имеющее огибающую  $U(t)$  и фазу  $\varphi(t)$ , можно представить в виде алгебраической суммы двух квадратурных составляющих [1]:

$$\begin{aligned} u(t) &= U(t) \cos(\omega_0 t + \varphi(t)) = U(t) \cos \varphi(t) \cdot \cos \omega_0 t - U(t) \sin \varphi(t) \cdot \sin \omega_0 t = \\ &= U_{\text{ш}}^c(t) \cdot \cos \omega_0 t - U_{\text{ш}}^s(t) \cdot \sin \omega_0 t, \end{aligned}$$

где  $U_{\text{ш}}^c(t) = U(t) \cos \varphi(t)$  – косинусная (синфазная) низкочастотная составляющая;

$U_{\text{ш}}^s(t) = U(t) \sin \varphi(t)$  – синусная (квадратурная) низкочастотная составляющая.

Низкочастотные косинусная и синусная составляющие квазигармонического колебания представляют собой медленно изменяющиеся по сравнению с  $u(t)$  случайные процессы.

Шум радиоприёмника имеет нормальное распределение вероятностей с плотностью

$$w(u) = \frac{1}{U_{\text{ш}} \sqrt{2\pi}} e^{-\frac{u^2}{2U_{\text{ш}}^2}},$$

где  $U_{\text{ш}}$  – эффективное напряжение шума. Из курса «Статистическая радиотехника» известно, что в этом случае низкочастотные квадратурные составляющие шума имеют следующие основные свойства [1].

1)  $U_{\text{ш}}^c(t)$  и  $U^s(t)$  являются нормальными случайными процессами с нулевым средним значением:

$$\overline{U_{\text{ш}}^s(t)} = \overline{U_{\text{ш}}^c(t)} = 0.$$

2) Дисперсии низкочастотных составляющих одинаковы и равны дисперсии квазигармонического шума

$$\overline{[U_{\text{ш}}^s(t)]^2} = \overline{[U_{\text{ш}}^c(t)]^2} = U_{\text{ш}}^2.$$

3) АКФ этих составляющих также одинаковы и равны

$$K_{U_{\text{ш}}^c}(\tau) = K_{U_{\text{ш}}^s}(\tau) = U_{\text{ш}}^2 \psi(\tau),$$

где  $\psi(\tau)$  – огибающая нормированной АКФ шума.

**Замечание:** свойство 2 – частный случай свойства 3, поскольку  $\overline{U(t)^2} = K_U(0)$ .

4) В совпадающие моменты времени синусная и косинусная низкочастотные составляющие взаимно некоррелированы:

$$\overline{U_{\text{ш}}^c(t)U_{\text{ш}}^s(t)} = 0.$$

5) Огибающая квазигармонического колебания выражается через синусную и косинусную составляющие как

$$U(t) = \sqrt{(U_{\text{ш}}^c(t))^2 + (U_{\text{ш}}^s(t))^2}.$$

Свойство 3 определяет важное соотношение между автокорреляционными функциями квазигармонического шума и его низкочастотных квадратурных составляющих: огибающей АКФ квазигармонического колебания является автокорреляционная функция его косинусной (либо синусной) низкочастотной составляющей. Поэтому АКФ квазигармонического шума можно записать как

$$K(\tau) = K_{U_{\text{ш}}^c}(\tau) \cos \omega_0 \tau = K_{U_{\text{ш}}^s}(\tau) \cos \omega_0 \tau.$$

### **Статистические характеристики огибающей шума на выходе БВЧ**

Известно, что огибающая нормального квазигармонического случайного процесса имеет распределение Релея [1]:

$$w(U) = \frac{U}{U_{\text{ш}}^2} e^{-\frac{U^2}{2U_{\text{ш}}^2}}, \quad U \geq 0.$$

Плотность вероятности распределения Релея имеет максимум при  $U = U_{\text{ш}}$ , т.е.  $U_{\text{ш}}$  является наиболее вероятным значением огибающей.

Основные статистические характеристики огибающей выражаются через эффективное напряжение квазигармонического шума  $U_{\text{ш}}$  следующим образом [1]:

- среднее значение (постоянная составляющая) огибающей

$$\bar{U} = \int_0^{\infty} U w(U) dU = \sqrt{\frac{\pi}{2}} U_{\text{ш}} \approx 1,25 U_{\text{ш}},$$

(отсюда, в частности, следует, что  $\bar{U} > U_{\text{ш}}$  и что поэтому среднее значение огибающей больше наиболее вероятного);

- дисперсия (мощность переменной составляющей на единичном сопротивлении) огибающей:

$$\sigma_U^2 = \int_0^{\infty} (U - \bar{U})^2 w(U) dU = \frac{4 - \pi}{2} U_{\text{ш}}^2 \approx 0,43 U_{\text{ш}}^2;$$

- среднеквадратическое отклонение (СКО) (эффективное напряжение переменной составляющей) огибающей:

$$\sigma_U = \sqrt{\frac{4 - \pi}{2}} U_{\text{ш}} \approx 0,66 U_{\text{ш}}.$$

Огибающая квазигармонического колебания – стационарный случайный процесс. Однако, её среднее значение не равно нулю, поэтому АКФ огибающей определяется как

$$K_U(\tau) = \overline{[U(t) - \bar{U}(t)][U(t + \tau) - \bar{U}(t + \tau)]}.$$

Представим АКФ огибающей в нормированном виде:

$$K_U(\tau) = \sigma_U^2 \rho_U(\tau),$$

где  $\rho_U(\tau)$  – нормированная АКФ огибающей. Известно, что нормированная АКФ огибающей выражается через огибающую нормированной АКФ квазигармонического шума  $\psi(\tau)$  в виде ряда по чётным степеням:

$$\rho_U(\tau) = \frac{\pi}{4 - \pi} \left[ \left( \frac{1}{2} \right)^2 \psi^2(\tau) + \left( \frac{1}{2 \cdot 4} \right)^2 \psi^4(\tau) + \left( \frac{1 \cdot 3}{2 \cdot 4 \cdot 6} \right)^2 \psi^6(\tau) + \dots \right] \approx$$

$$\approx 0,915\psi^2(\tau) + 0,057\psi^4(\tau) + 0,014\psi^6(\tau) + \dots$$

Общее выражение для членов этого ряда, начиная со 2-го, имеет вид

$$\left( \frac{1 \cdot 3 \cdot \dots \cdot (2n-3)}{2 \cdot 4 \cdot \dots \cdot 2n} \right)^2 \psi(\tau)^{2n} = \left( \frac{(2n-3)!!}{(2n)!!} \right)^2 \psi(\tau)^{2n}.$$

Для практических расчётов в ряде оставляют только 1-й член, коэффициент которого округляют до 1, и с погрешностью около 10% принимают, что

$$\rho_U(\tau) \approx \psi^2(\tau).$$

Таковы основные статистические характеристики огибающей квазигармонического шума.

### ***Статистические характеристики огибающей смеси сигнала и шума на выходе узкополосного БВЧ***

Рассмотрим основные статистические характеристики огибающей суммы немодулированного гармонического сигнала и узкополосного (квазигармонического) шума. Соотношение интенсивностей сигнала и шума на выходе БВЧ будем характеризовать параметром, равным отношению амплитуды сигнала к эффективному напряжению шума:

$$a = \frac{U_c}{U_{\text{ш}}}.$$

Для упрощения анализа примем, что частота сигнала совпадает с центральной частотой спектра шума  $\omega_0$  (это условие обычно выполняется на практике):

$$u_c(t) = U_c \cos \omega_0 t.$$

Представим шум в виде суммы квадратурных составляющих:

$$u_{\text{ш}}(t) = U_{\text{ш}}^c(t) \cos \omega_0 t - U_{\text{ш}}^s(t) \sin \omega_0 t.$$

Тогда сумма сигнала и шума будет равна

$$u_c(t) + u_{ш}(t) = [U_{ш}^c(t) + U_c] \cos \omega_0 t - U_{ш}^s(t) \sin \omega_0 t =$$

$$= U_{c+ш}^c(t) \cos \omega_0 t - U_{c+ш}^s(t) \sin \omega_0 t = V(t) \cos[\omega_0 t + \theta(t)],$$

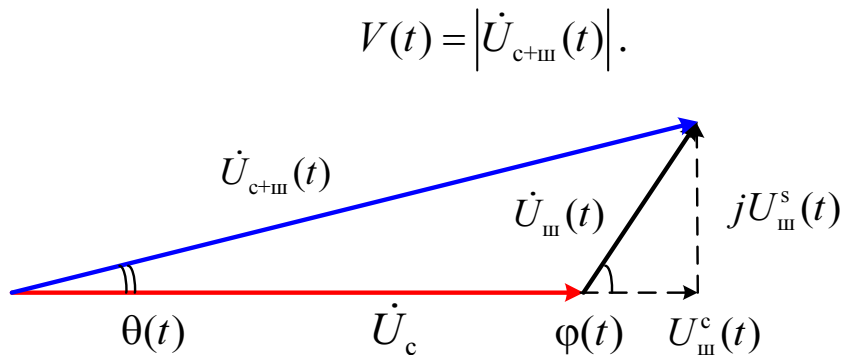
где  $U_{c+ш}^c(t) = U_{ш}^c(t) + U_c$  и  $U_{c+ш}^s(t) = U_{ш}^s(t)$  – косинусная и синусная низкочастотные составляющие суммы сигнала и шума;  $V(t)$  и  $\theta(t)$  – огибающая и фаза суммы сигнала и шума соответственно.

Огибающая и фаза суммы сигнала и шума выражаются через низкочастотные квадратурные составляющие следующим образом:

$$V(t) = \sqrt{U_{c+ш}^c(t)^2 + U_{c+ш}^s(t)^2} = \sqrt{[U_c + U_{ш}^c(t)]^2 + U_{ш}^s(t)^2},$$

$$\theta(t) = \text{arctg} \frac{U_{c+ш}^s(t)}{U_{c+ш}^c(t)} = \text{arctg} \frac{U_{ш}^s(t)}{U_c + U_{ш}^c(t)}.$$

Комплексную огибающую суммы сигнала и шума можно представить с помощью векторной диаграммы, изображённой на рис. 2.5. На этой диаграмме огибающая суммы сигнала и шума равна длине суммарного вектора:



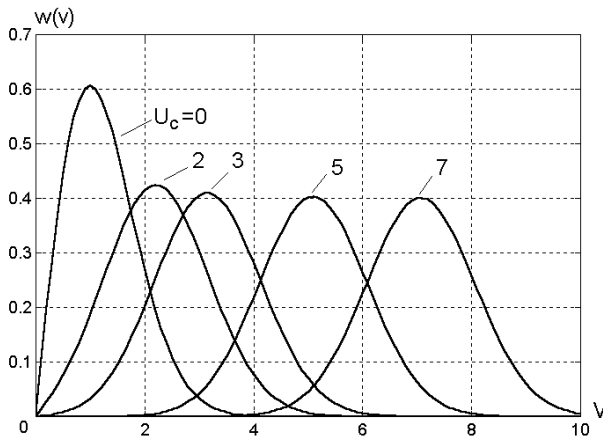
**Рис. 2.5. Векторная диаграмма комплексной огибающей суммы сигнала и шума**

Плотность вероятности огибающей суммы сигнала и шума описывается законом Райса

$$w(V) = \frac{V}{U_{ш}^2} I_0 \left( \frac{V U_c}{U_{ш}^2} \right) e^{-\frac{V^2 + U_c^2}{2U_{ш}^2}}, \quad V \geq 0,$$

где  $I_0(\cdot)$  – модифицированная функция Бесселя 0-го порядка.

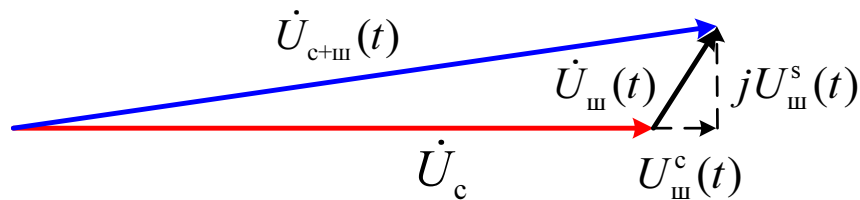
Вид распределения Райса зависит от величины отношения сигнал-шум  $a = \frac{U_c}{U_{ш}}$ . Графики распределения Райса при  $U_{ш} = 1$  для различных значений  $U_c$  приведены на рис. 2.6. Видно, что с увеличением амплитуды сигнала график плотности вероятности огибающей сдвигается вправо и становится всё более симметричным. Используя асимптотическую формулу для модифицированной функции Бесселя<sup>\*)</sup>, можно показать, что при большом отношении сигнал-шум распределение Райса переходит в нормальное распределение вероятностей с математическим ожиданием  $U_c$  и дисперсией  $U_{ш}^2$ .



**Рис. 2.6. Плотность вероятности распределения Райса при  $U_{ш} = 1$**

Этот результат можно качественно объяснить с помощью векторной диаграммы, изображённой на рис. 2.7. При  $a = \frac{U_c}{U_{ш}} \gg 1$  синусная составляющая шума практически не влияет на огибающую суммы сигнала и шума и поэтому  $V(t) = |\dot{U}_{c+ш}(t)| \approx U_c + U_{ш}^c(t)$ . А поскольку косинусная составляющая шума  $U_{ш}^c(t)$  имеет

нормальное распределение с нулевым средним значением и дисперсией  $U_{ш}^2$ , то огибающая  $V$  при  $a \gg 1$  также имеет нормальное распределение со средним значением  $U_c$  и дисперсией  $U_{ш}^2$ .



**Рис. 2.7. Векторная диаграмма комплексной огибающей суммы сигнала и шума при  $a \gg 1$**

<sup>\*)</sup> При  $x \gg 1$   $I_0(x) \approx \frac{e^x}{\sqrt{2\pi x}}$ .

### Дополнительные сведения

Основные статистические характеристики огибающей суммы сигнала и шума определяются следующими соотношениями.

Среднее значение (постоянная составляющая) огибающей суммы сигнала и шума в общем случае равно

$$\bar{V} = \int_0^{\infty} V w_{\text{Райса}}(V) dV = U_{\text{ш}} M(a),$$

где

$$M(a) = \sqrt{\frac{\pi}{2}} e^{-\frac{a^2}{4}} \left[ \left( 1 + \frac{a^2}{2} \right) I_0\left(\frac{a^2}{4}\right) + \frac{a^2}{2} I_1\left(\frac{a^2}{4}\right) \right],$$

$I_0(\cdot), I_1(\cdot)$  – модифицированная функция Бесселя 0-го и 1-го порядка соответственно. Для удобства определения  $\bar{V}$  используется график функции  $M(a)$ , изображённый на рис. 2.8. Пунктирной линией показана асимптота кривой – линейная функция  $M_{\text{асимпт.}}(a) = a$ .

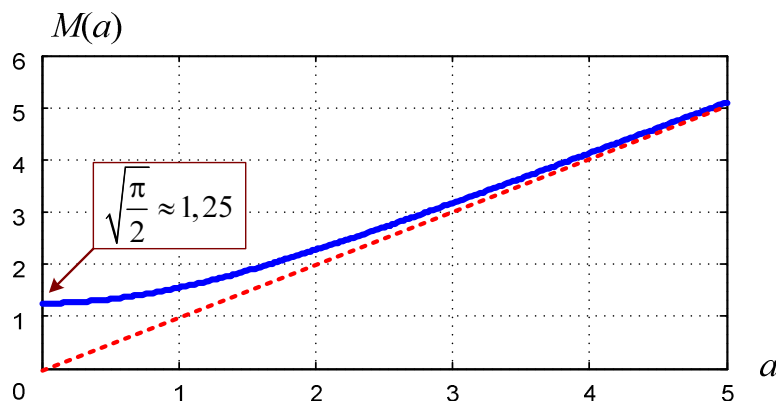


Рис. 2.8. График функции  $M(a)$

Следовательно при  $a \gg 1$  (практически при  $a > 3$ )  $M(a) \approx a = \frac{U_c}{U_{\text{ш}}}$  и среднее значение огибающей приблизительно равно амплитуде сигнала:  $\bar{V} \approx U_c$ . При  $a = 3$  относительная погрешность этого приближённого равенства составляет около 10%. В общем случае среднее значение напряжения на выходе АД равно  $\bar{U}_d = K_d \bar{V} = K_d U_{\text{ш}} M(a)$ .

Среднеквадратичное отклонение (эффективное значение случайной составляющей) огибающей суммы сигнала и шума равно

$$\sigma_V = \sqrt{\int_0^{\infty} (V - \bar{V})^2 w_{\text{Райса}}(V) dV} = U_{\text{ш}} N(a),$$

где  $N(a) = \sqrt{2 + a^2 - M^2(a)}$ . График функции  $N(a)$  показан на рис. 2.9.

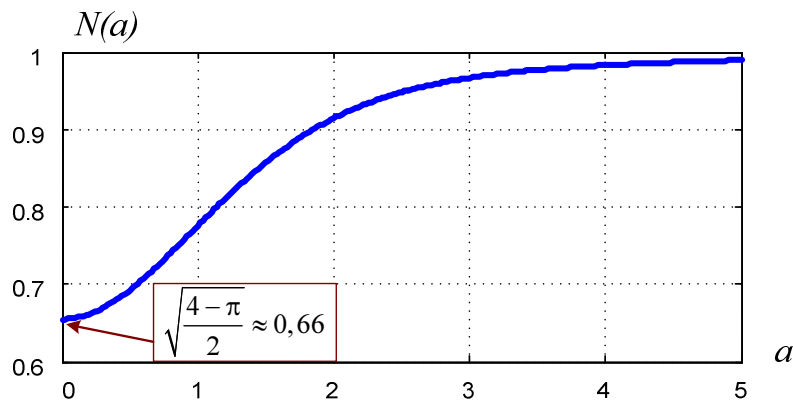


Рис. 2.9. График функции  $N(a)$

При  $a \gg 1$  (практически при  $a \geq 5$ )  $N(a) \approx 1$  и, следовательно,  $\sigma_V \approx U_{\text{ш}}$ . Эффективное напряжение шума на выходе АД равно  $\sigma_{U_d} = K_d \sigma_V = K_d U_{\text{ш}} N(a)$ .

Автокорреляционная функция огибающей приближённо равна [2, с. 407, формула (11.52)]:

$$K_V(\tau) \approx \frac{4-\pi}{2} U_{\text{ш}}^2 \left[ b_1(a) \cdot \psi(\tau) + b_2(a) \cdot \psi^2(\tau) \right].$$

где

$$b_1(a) = \left\{ a e^{-\frac{a^2}{4}} \left[ I_0\left(\frac{a^2}{4}\right) + I_1\left(\frac{a^2}{4}\right) \right] \right\}^2,$$

$$b_2(a) = \left[ e^{-\frac{a^2}{4}} I_0\left(\frac{a^2}{4}\right) \right]^2 + \left[ e^{-\frac{a^2}{4}} I_1\left(\frac{a^2}{4}\right) \right]^2.$$

Графики зависимости коэффициентов  $b_1(a)$  и  $b_2(a)$  от параметра  $a$  изображены на рис. 2.10. Заметим, что в соответствии с этой формулой при  $a \gg 1$ , когда  $b_1(a) \approx 8/\pi$  и  $b_2(a) \approx 0$ , дисперсия огибающей равна

$$\sigma_V^2 = K_V(0) \approx \frac{4-\pi}{2} \cdot \frac{8}{\pi} U_{\text{ш}}^2 \approx \frac{U_{\text{ш}}^2}{0,915} = 1,09 U_{\text{ш}}^2$$

вместо  $U_{\text{ш}}^2$ . Это связано с приближённым характером формулы.

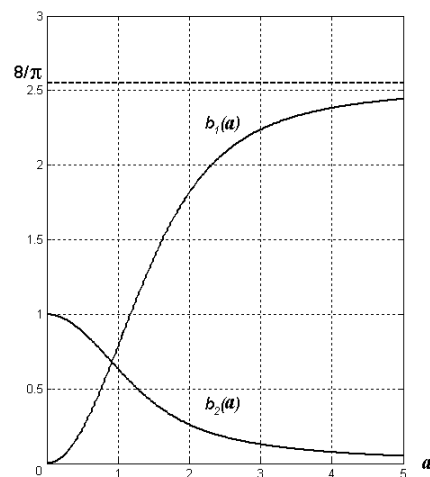


Рис. 2.10. Графики функций  $b_1(a)$  и  $b_2(a)$

Теперь рассмотрим спектральную плотность мощности (энергетический спектр) огибающей смеси сигнала и шума. На основании теоремы Винера-Хинчина она определяется как преобразование Фурье автокорреляционной функции [1]:



$$G_{V_M}(\omega) = \int_{-\infty}^{\infty} K_V(\tau) e^{-j\omega\tau} d\tau.$$

Здесь  $G_{V_M}(\omega)$  – «математический» энергетический спектр, определённый как для положительных, так и для отрицательных частот.

В соответствии с выражением для АКФ огибающей энергетический спектр приближённо равен сумме двух составляющих, уровень которых зависит от отношения сигнал-шум:

$$G_V(F) \approx G_{V_1}(F) + G_{V_2}(F).$$

Первое слагаемое определяется выражением

$$G_{V_1}(F) = b_1(a) \frac{4-\pi}{2} \cdot 4 \int_0^{\infty} U_{\text{ш}}^2 \psi(\tau) \cos(2\pi F \tau) d\tau = b_1(a) \frac{4-\pi}{2} G_{U_{\text{ш}}^c}(F),$$

где  $G_{U_{\text{ш}}^c}(F)$  – энергетический спектр косинусной низкочастотной составляющей шума.  $G_{V_1}(F)$  имеет вид энергетического спектра шума, сдвинутого на нулевую частоту. Второе слагаемое определяется выражением

$$G_{V_2}(F) = b_2(a) \frac{4-\pi}{2} \cdot 4 \int_0^{\infty} U_{\text{ш}}^2 \psi^2(\tau) \cos(2\pi F \tau) d\tau.$$

Можно показать, что поскольку под знаком интеграла здесь стоит квадрат функции  $\psi(\tau)$ , то эта составляющая имеет вид результата свёртки энергетического спектра шума, сдвинутого на нулевую частоту, с ним же самим.

Наиболее простой вид имеют выражения для составляющих энергетического спектра огибающей в случае БВЧ с прямоугольной АЧХ:

$$G_{V_1}(F) = (4-\pi) b_1(a) K_{0.БВЧ}^2 G_0 \text{ при } F \in [0, \Pi_{\text{ш}}/2],$$

$$G_{V_2}(F) = (4-\pi) b_2(a) K_{0.БВЧ}^2 G_0 \frac{\Pi_{\text{ш}} - F}{\Pi_{\text{ш}}} \text{ при } F \in [0, \Pi_{\text{ш}}].$$

Здесь  $\Pi_{\text{ш}}$  – шумовая полоса пропускания БВЧ;  $K_{0.БВЧ}$  – коэффициент усиления БВЧ;  $G_0 = (U_{\text{ш}}/K_{0.БВЧ})^2 / \Pi_{\text{ш}}$  – спектральная плотность белого шума на входе БВЧ. Первая составляющая  $G_{V_1}(F)$  имеет форму прямоугольника с основанием  $\Pi_{\text{ш}}/2$ , вторая составляющая  $G_{V_2}(F)$  – форму треугольника с основанием  $\Pi_{\text{ш}}$  (рис. 2.11). Энергетический спектр шумового напряжения на выходе АД равен

$$G_{U_{\text{д}}}(F) = K_{\text{д}}^2 G_V(F).$$

В отсутствие сигнала энергетический спектр шума на выходе АД равен

$$G_{U_{\text{д}}}(F) \approx (4-\pi) K_{\text{д}}^2 K_{0.БВЧ}^2 G_0 \frac{\Pi_{\text{ш}} - F}{\Pi_{\text{ш}}} \text{ при } F \in [0, \Pi_{\text{ш}}].$$

Графики рассчитанного по этой формуле и полученного на модели энергетического спектра шума на выходе АД при  $K_d = 1$  и  $\Pi_{ш} = 20$  кГц изображены на рис. 2.12.

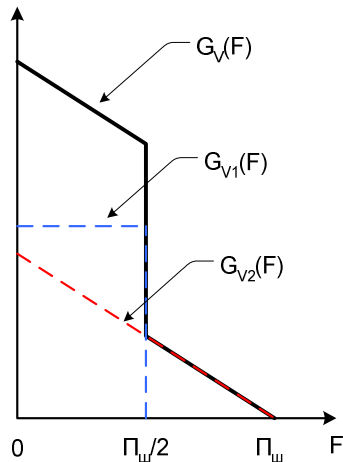


Рис. 2.11. Составляющие энергетического спектра шума на выходе АД

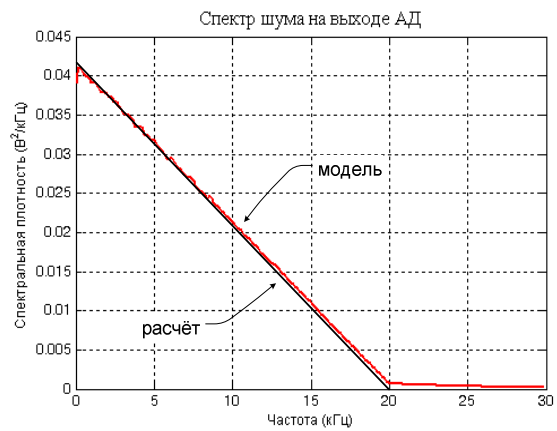


Рис. 2.12. Энергетический спектр шума на выходе АД при отсутствии сигнала

Видно, что из-за приближённого характера формулы для  $G_V(F)$  она не учитывает высокочастотные составляющие шума за пределами частоты, равной  $\Pi_{ш}$ . При практических расчётах этими составляющими обычно пренебрегают и считают, что спектр шума на выходе АД имеет треугольную форму.

При большом отношении сигнал-шум ( $a \gg 1$ ) форма энергетического спектра шума на выходе АД близка к прямоугольной. Меньшая ширина спектра шума на выходе АД в этом случае по сравнению со случаем воздействия чистого шума объясняется тем, что огибающая шума при провалах до нуля имеет изломы, тогда как у огибающей смеси сигнала и шума их практически нет.

Формулу для энергетического спектра огибающей шума в случае прямоугольного спектра шума можно получить и на основе более наглядных рассуждений. Поскольку АКФ косинусной составляющей узкополосного шума равна

$$K_{U_{ш}^c} = U_{ш}^2 \psi(\tau),$$

то функция  $\psi(\tau)$  представляет собой нормированную АКФ косинусной составляющей шума:

$$\psi(\tau) = \rho_{U_{ш}^c}(\tau).$$

Косинусная составляющая — это низкочастотный случайный процесс. Его математический (двусторонний) энергетический спектр получается сдвигом спектра узкополосного шума на нулевую частоту. Следовательно, огибающая нормированной АКФ шума  $\psi(\tau)$  имеет математический спектр  $G_{U_{ш.м}^c}(\Omega)$ . По теореме о свёртке квадрату АКФ  $\psi^2(\tau)$  соответствует свёртка спектра  $G_{U_{ш.м}^c}(\Omega)$  с самим собой:

$$\psi^2(\tau) \Leftrightarrow G_{U_{ш.м}^c}(\Omega) * G_{U_{ш.м}^c}(\Omega).$$

Для прямоугольного спектра шума эта свёртка имеет вид треугольника с основанием  $\Pi_{\text{ш}}$  и высотой  $G_U(0)$ . Для определения  $G_U(0)$  приравняем два выражения для дисперсии огибающей шума. С одной стороны, по формуле площади треугольника

$$\sigma_U^2 = \int_0^{\infty} G_U(F) dF = \frac{1}{2} \Pi_{\text{ш}} G_U(0);$$

с другой стороны,

$$\sigma_U^2 = \frac{4-\pi}{2} U_{\text{ш}}^2 = \frac{4-\pi}{2} G_0 \Pi_{\text{ш}} K_{0.\text{БВЧ}}^2.$$

Приравнявая эти два выражения, получим:

$$\frac{1}{2} \Pi_{\text{ш}} G_U(0) = \frac{4-\pi}{2} G_0 \Pi_{\text{ш}} K_{0.\text{БВЧ}}^2,$$

откуда следует

$$G_U(0) = (4-\pi) G_0 \Pi_{\text{ш}} K_{0.\text{БВЧ}}^2,$$

что совпадает с ранее приведённым выражением.

## Литература

1. **Карташёв В.Г.**, Шалимова Е.В. Основы теории случайных процессов. М.: Издательство МЭИ, 2005.
2. **Радиоприёмные устройства** / Под ред. В.И.Сифорова. М.: Советское радио, 1974.